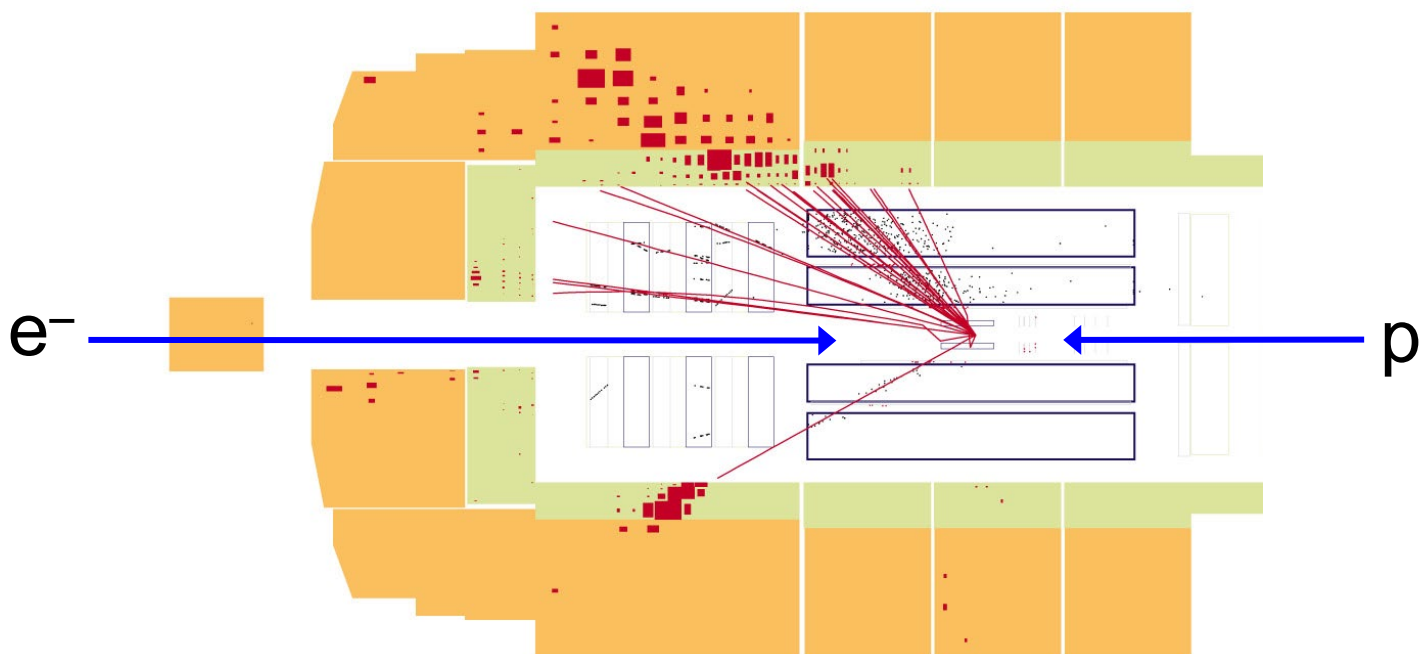


粒子物理学

第 6 章：深度非弹性散射



张雷，车轶旻，南京大学物理学院

Based on M. Thomson's notes

$e^- p$ Elastic Scattering at Very High q^2

- 在高 q^2 时，弹性散射的Rosenbluth公式为

$$\left(\frac{d\sigma}{d\Omega}\right)_{elastic} = \frac{\alpha^2}{4E_1^2 \sin^4 \theta/2} \frac{E_3}{E_1} \left(\frac{q^2}{2M^2} G_M^2 \sin^2 \frac{\theta}{2} \right) \quad \tau = -\frac{q^2}{4M^2} \gg 1$$

$$\frac{d\sigma}{d\Omega} = \frac{\alpha^2}{4E_1^2 \sin^4 \theta/2} \frac{E_3}{E_1} \left(\frac{G_E^2 + \tau G_M^2}{(1 + \tau)} \cos^2 \frac{\theta}{2} + 2\tau G_M^2 \sin^2 \frac{\theta}{2} \right)$$

$$\tau = -\frac{q^2}{4M^2} > 0$$

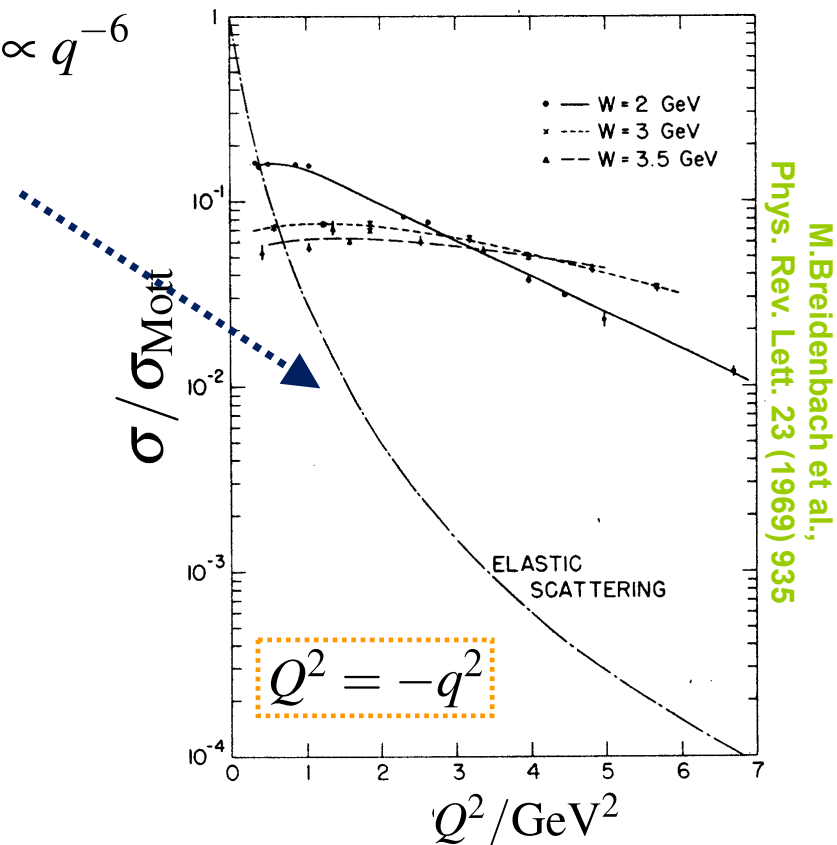
$e^- p$ Elastic Scattering at Very High q^2

- 在高 q^2 时，弹性散射的Rosenbluth公式为

$$\left(\frac{d\sigma}{d\Omega}\right)_{elastic} = \frac{\alpha^2}{4E_1^2 \sin^4 \theta/2} \frac{E_3}{E_1} \left(\frac{q^2}{2M^2} G_M^2 \sin^2 \frac{\theta}{2} \right) \quad \tau = -\frac{q^2}{4M^2} \gg 1$$

- 从 $e^- p$ 弹性散射得到的质子磁形状因子为 $G_M(q^2) \approx \frac{1}{(1 + q^2/0.71\text{GeV}^2)^2}$

在高 q^2 \Rightarrow $G_M(q^2) \propto q^{-4} \Rightarrow \left(\frac{d\sigma}{d\Omega}\right)_{elastic} \propto q^{-6}$



$e^- p$ Elastic Scattering at Very High q^2

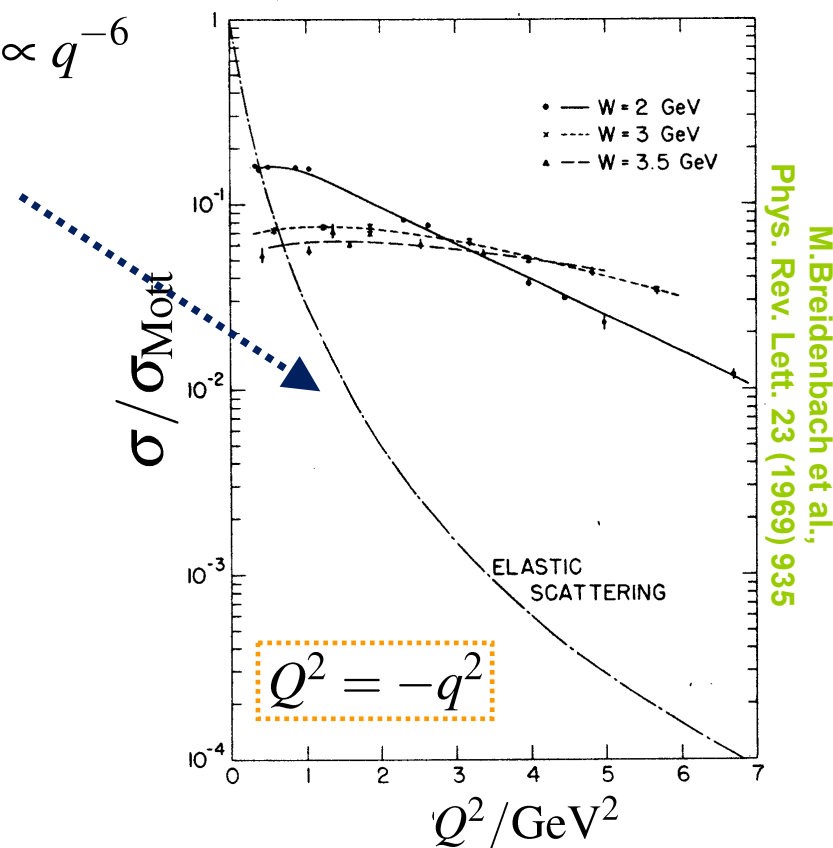
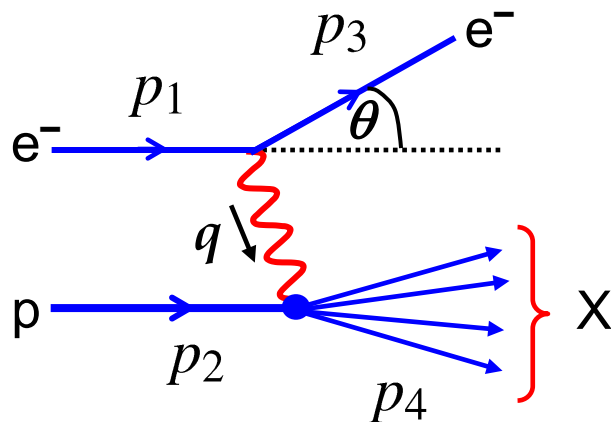
- 在高 q^2 时，弹性散射的Rosenbluth公式为

$$\left(\frac{d\sigma}{d\Omega}\right)_{elastic} = \frac{\alpha^2}{4E_1^2 \sin^4 \theta/2} \frac{E_3}{E_1} \left(\frac{q^2}{2M^2} G_M^2 \sin^2 \frac{\theta}{2}\right) \quad \tau = -\frac{q^2}{4M^2} \gg 1$$

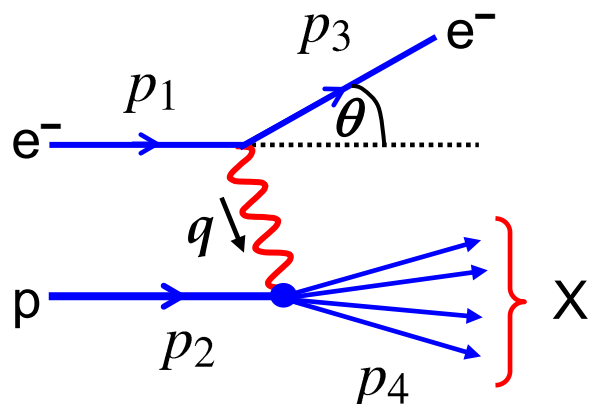
- 从 $e^- p$ 弹性散射得到的质子磁形状因子为 $G_M(q^2) \approx \frac{1}{(1 + q^2/0.71\text{GeV}^2)^2}$

在高 q^2 $\Rightarrow G_M(q^2) \propto q^{-4} \Rightarrow \left(\frac{d\sigma}{d\Omega}\right)_{elastic} \propto q^{-6}$

- 由于质子有一定的尺寸，高 q^2 时弹性散射概率变小，能打碎质子的非弹性散射开始占主导



Kinematics of Inelastic Scattering



- 非弹性散射末态的强子体系质量不再是质子质量 M
- 末态强子体系至少包含一个重子，说明其末态不变质量 $M_X > M$ $M_X^2 = p_4^2 = (E_4^2 - |\vec{p}_4|^2)$
- 非弹性散射研究引入四个新运动学变量： x, y, ν, Q^2

➤ **定义1: Bjorken x**
(洛伦兹不变)

$$x \equiv \frac{Q^2}{2p_2 \cdot q}$$

其中

$$Q^2 \equiv -q^2 \quad Q^2 > 0$$

这里 $M_X^2 = p_4^2 = (q + p_2)^2 = -Q^2 + 2p_2 \cdot q + M^2$

$$\Rightarrow Q^2 = 2p_2 \cdot q + M^2 - M_X^2 \Rightarrow Q^2 \leq 2p_2 \cdot q$$

注：很多书上
 M_X 常表示为 W

因此

$$0 < x < 1 \quad \text{inelastic}$$

$$x = 1 \quad \text{elastic}$$

Proton intact
 $M_X = M$

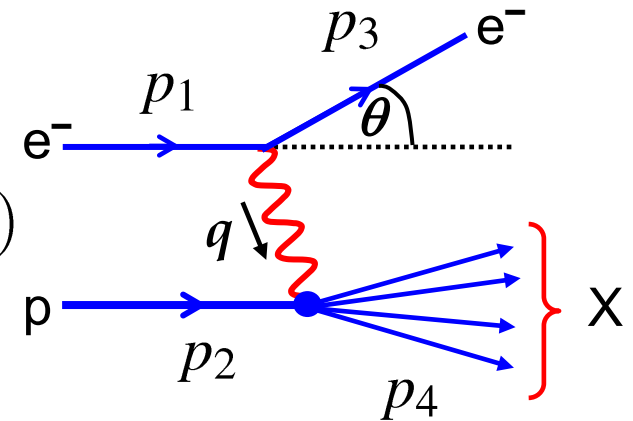
Kinematics of Inelastic Scattering

➤ 定义2: $y \equiv \frac{p_2 \cdot q}{p_2 \cdot p_1}$ (洛伦兹不变)

实验室系

$$p_1 = (E_1, 0, 0, E_1) \quad p_2 = (M, 0, 0, 0)$$

$$q = (E_1 - E_3, \vec{p}_1 - \vec{p}_3)$$



➡ $y = \frac{M(E_1 - E_3)}{ME_1} = 1 - \frac{E_3}{E_1}$

入射粒子损失能量的份额

$$0 < y < 1$$

➤ 定义3: $v \equiv \frac{p_2 \cdot q}{M}$ (洛伦兹不变)

实验室系

$$v = E_1 - E_3$$

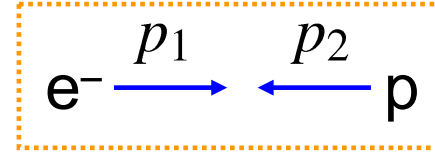
入射粒子损失能量

Relationships between Kinematic Variables

- 对于电子质子碰撞，新运动学变量以质心能量平方 s 表达

$$s = (p_1 + p_2)^2 = p_1^2 + p_2^2 + 2p_1 \cdot p_2 = 2p_1 \cdot p_2 + M^2 + \cancel{m_e^2}$$

$$2p_1 \cdot p_2 = s - M^2$$



忽略电子质量

- 对于固定质心能量，四个运动学变量并非完全独立

$$Q^2 \equiv -q^2 \quad x \equiv \frac{Q^2}{2p_2 \cdot q} \quad y \equiv \frac{p_2 \cdot q}{p_2 \cdot p_1} \quad v \equiv \frac{p_2 \cdot q}{M}$$

- 即标度变量 x 和 y 可以表达为：

$$x = \frac{Q^2}{2Mv} \quad y = \frac{2M}{s - M^2} v \quad \text{且} \quad xy = \frac{Q^2}{s - M^2} \Rightarrow Q^2 = (s - M^2)xy$$

Q^2 related x and y

y 正比于 v

(y - v 组合除外)

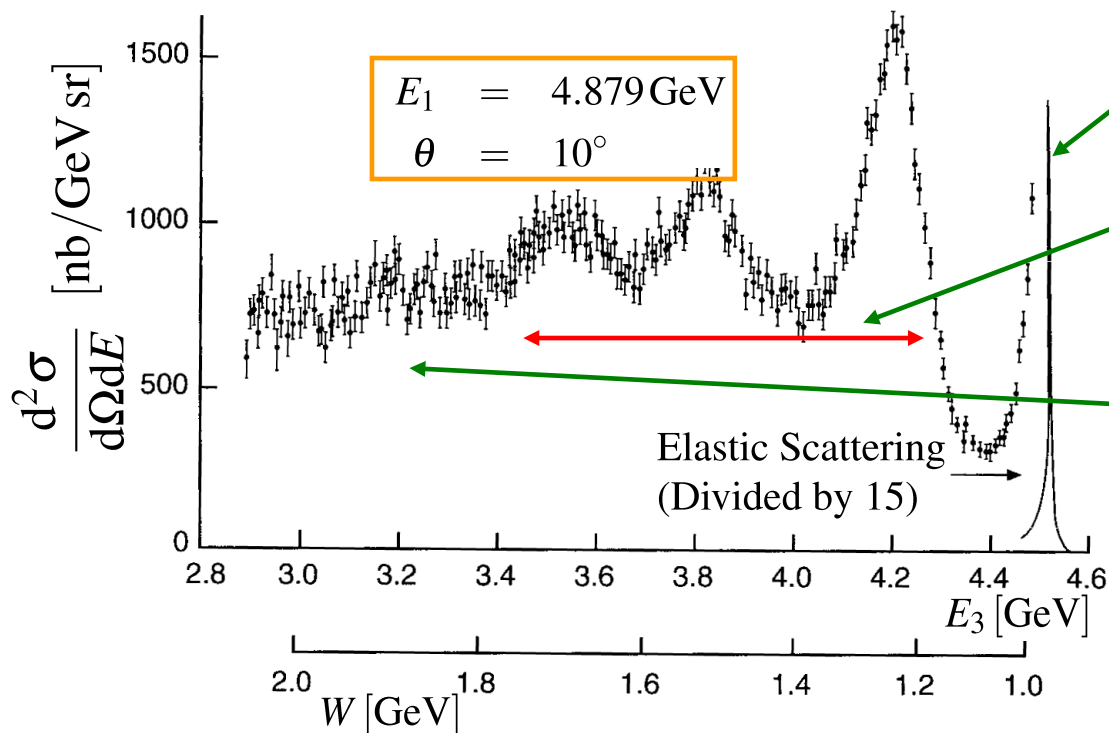
- 对于**固定质心能量**，相互作用运动学可由上述的**任意两个**运动学变量完全确定
- 对于弹性散射($x=1$)，只有一个独立变量
 - (如上节课讨论) 只需要测量电子的散射角度就可以确定所有物理量

Inelastic Scattering

例：4.879 GeV 电子被静止质子散射

- 探测与束流特定夹角散射后电子的能量，运动学完全由电子能量和角度决定
- 如，末态强子系统的不变质量

$$W^2 = (p_2 + q)^2 = p_2^2 + 2p_2 \cdot q + q^2 = m_p^2 + 2p_2 \cdot (p_1 - p_3) + (p_1 - p_3)^2$$
$$\approx [m_p^2 + 2m_p E_1] - 2[m_p + E_1(1 - \cos \theta)] E_3.$$



● 弹性散射 质子保持完整 $W = M$

● 非弹性散射 产生质子“激发态”
如 $\Delta^+(1232)$ $W = M_\Delta$

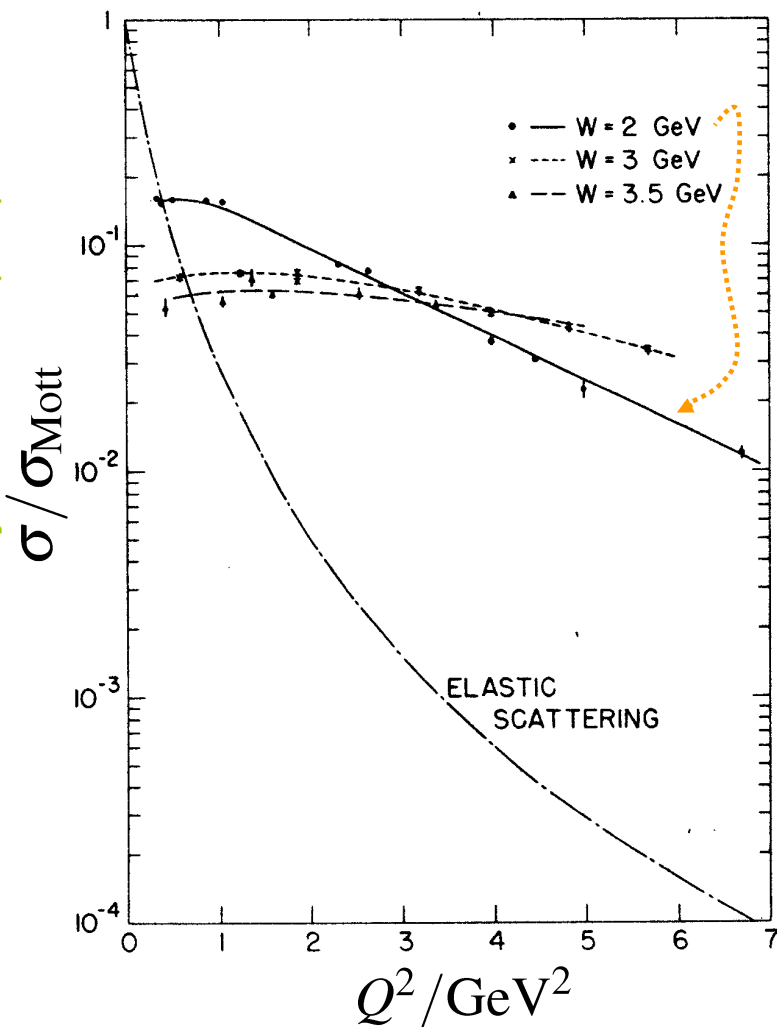
● 深度非弹性散射
质子破碎导致多粒子末态

DIS = large W

Inelastic Cross Sections

- 在不同角度和束流能量测量，得到 q^2 依赖的弹性散射和非弹性散射截面

Phys. Rev. Lett. 23 (1969) 935



- 弹性散射截面随 q^2 迅速下降，
由于质子不是点粒子(即 形状因子)
- 非弹性散射截面随 q^2 缓慢下降，
- 深度非弹性散射截面几乎与随 q^2 无关
i.e. “形状因子（傅里叶变换）” $\rightarrow 1$



质子内部点状对象的散射！

Elastic → Inelastic Scattering

- 回忆：（上节课）弹性散射只有一个独立变量

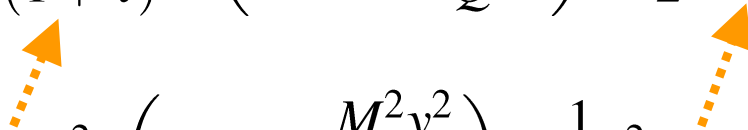
- 实验室系，微分截面用电子散射角来表达 (Rosenbluth公式)

$$\frac{d\sigma}{d\Omega} = \frac{\alpha^2}{4E_1^2 \sin^4 \theta / 2} \frac{E_3}{E_1} \left(\frac{G_E^2 + \tau G_M^2}{(1 + \tau)} \cos^2 \frac{\theta}{2} + 2\tau G_M^2 \sin^2 \frac{\theta}{2} \right) \quad \tau = \frac{Q^2}{4M^2}$$

注：散射后电子的能量可通过角度来确定

- 表达成 Q^2 依赖的洛伦兹不变量 $\frac{d\sigma}{dQ^2} = \frac{4\pi\alpha^2}{Q^4} \left[\frac{G_E^2 + \tau G_M^2}{(1 + \tau)} \left(1 - y - \frac{M^2 y^2}{Q^2} \right) + \frac{1}{2} y^2 G_M^2 \right]$

进一步写作

$$\frac{d\sigma}{dQ^2} = \frac{4\pi\alpha^2}{Q^4} \left[f_2(Q^2) \left(1 - y - \frac{M^2 y^2}{Q^2} \right) + \frac{1}{2} y^2 f_1(Q^2) \right]$$


- 非弹性散射：

- 深度非弹性散射有两个独立变量，因此需要双微分截面

Deep Inelastic Scattering

- $e^-p \rightarrow e^-X$ 非弹性散射最一般的洛伦兹不变表达式（通过单光子交换）：

$$\frac{d^2\sigma}{dx dQ^2} = \frac{4\pi\alpha^2}{Q^4} \left[\left(1 - y - \frac{M^2 y^2}{Q^2}\right) \frac{F_2(x, Q^2)}{x} + y^2 F_1(x, Q^2) \right] \quad (1) \quad \boxed{\text{INELASTIC SCATTERING}}$$

后面讨论该公式如何与质子的夸克模型联系

注：形状因子变为**结构函数** $F_1(x, Q^2)$ 和 $F_2(x, Q^2)$

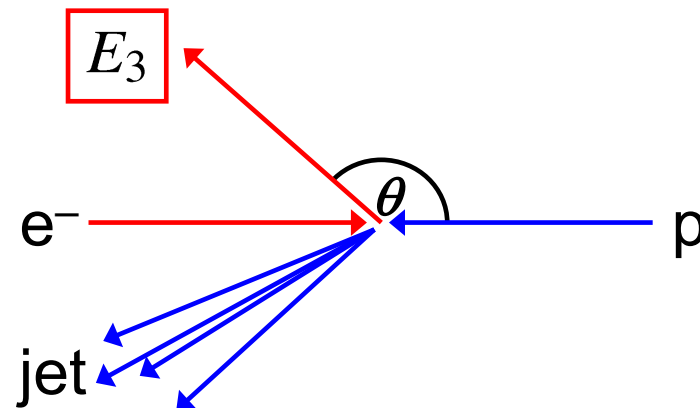
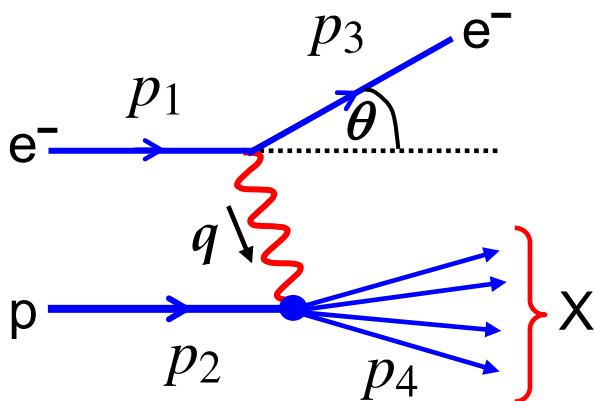
x 和 Q^2 的函数：不能被简单理解为电荷和磁矩分布的傅里叶变换

- （描述质子内夸克的 **动量分布**）
- 在**高能极限下**（即 $Q^2 \gg M^2 y^2$ ）公式 (1) 变成：

$$\frac{d^2\sigma}{dx dQ^2} = \frac{4\pi\alpha^2}{Q^4} \left[(1 - y) \frac{F_2(x, Q^2)}{x} + y^2 F_1(x, Q^2) \right] \quad (2)$$

Deep Inelastic Scattering

- 为了在实验室系方便测量，将截面表达成散射后电子的 θ 角和能量 E_3 的函数



$$Q^2 = 4E_1 E_3 \sin^2 \theta / 2; \quad x = \frac{Q^2}{2M(E_1 - E_3)}; \quad y = 1 - \frac{E_3}{E_1}; \quad \nu = E_1 - E_3$$

- 在实验室系，公式(2)变成：

$$\frac{d^2 \sigma}{dE_3 d\Omega} = \frac{\alpha^2}{4E_1^2 \sin^4 \theta / 2} \left[\frac{1}{\nu} F_2(x, Q^2) \cos^2 \frac{\theta}{2} + \frac{2}{M} F_1(x, Q^2) \sin^2 \frac{\theta}{2} \right] \quad (3)$$

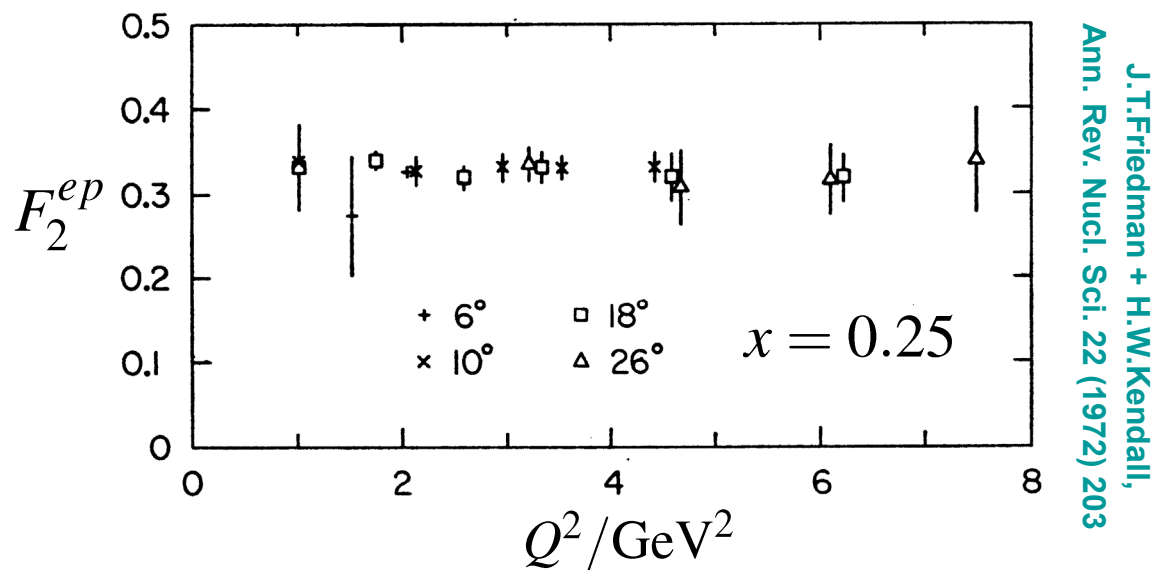
电磁结构函数

纯磁结构函数

Measuring the Structure Functions

- 为了确定给定 x 和 Q^2 下的 $F_1(x, Q^2)$ 和 $F_2(x, Q^2)$, 需要
 - 在不同散射角下的微分截面测量; 入射电子束流的能量

举例: 电子-质子散射 固定 x 下 F_2 vs. Q^2



✓ 实验观测:

➤ F_1 和 F_2 与 Q^2 (近似) 无关, 即 比约肯标度(不变)律 **Bjorken Scaling**

Bjorken Scaling and Callan-Gross Relation

- (近)独立于 Q^2 的结构函数被称为 **比约肯标度律**

强烈预示散射来自于质子内部的**点状成分**

$$F_1(x, Q^2) \rightarrow F_1(x)$$

$$F_2(x, Q^2) \rightarrow F_2(x)$$

✓ 实验观测 2: $F_1(x)$ 和 $F_2(x)$ 并不独立

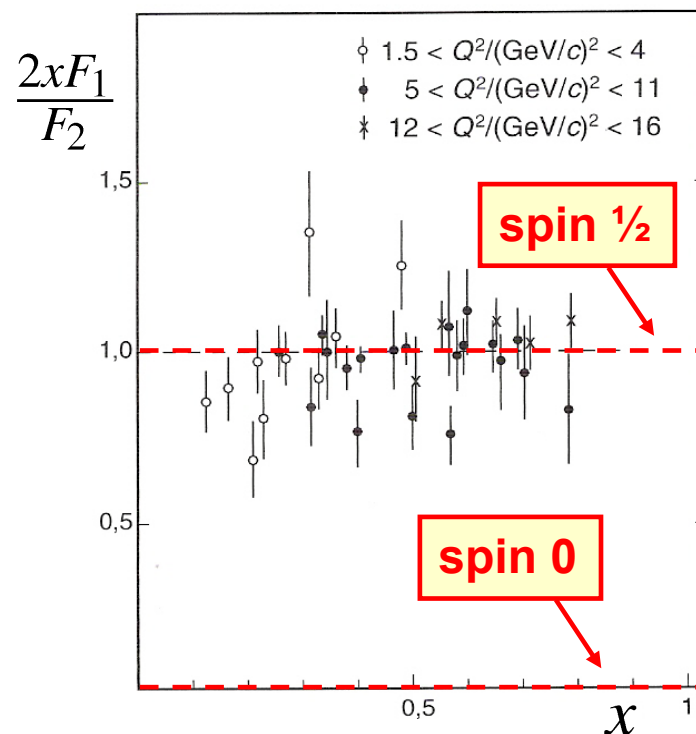
- 满足 **Callan-Gross 关系式**

$$F_2(x) = 2xF_1(x)$$

- 这正是散射到**自旋1/2**夸克的预言

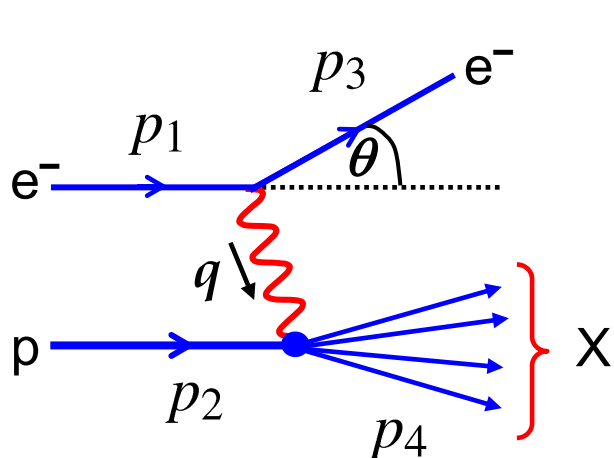
注: 如果夸克自旋为零, 则纯磁结构函数变成零

$$F_1(x) = 0$$

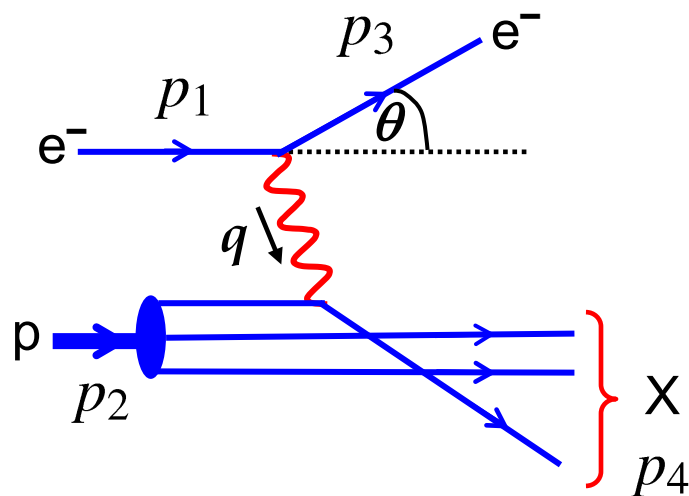


Quark-Parton Model

- 费曼：在夸克和胶子被接受前，提出质子是由点状的“部分子”组成的
- 比约肯标度律和Callan-Gross关系式都可以通过如下假设来解释
 - 深度非弹散射的主导过程是单个虚光子与质子的自旋1/2点状组分的散射



结构函数描述的质子散射



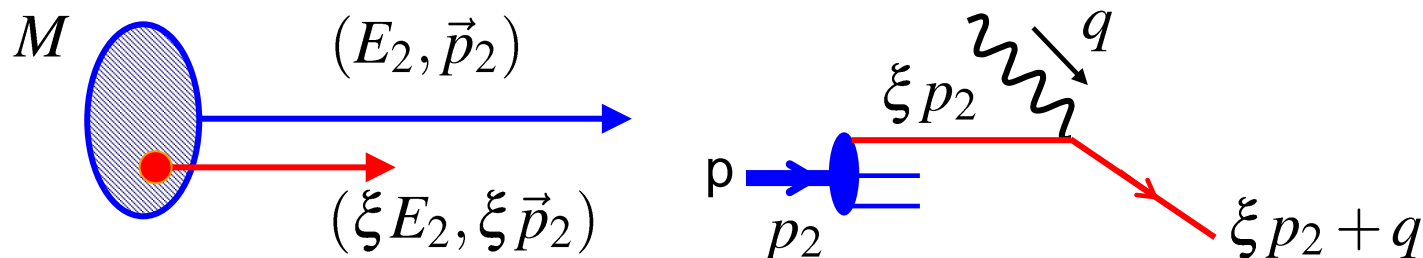
含有点状夸克的质子散射

➤ 如何将这两种相互作用的物理图像联系起来？

Quark-Parton Model

- 夸克模型中，基本相互作用是质子中“**准自由**”自旋1/2夸克的**弹性散射**
 - 即，将夸克视为自由粒子！
- “**无线动量坐标系**”最为方便
 - 即质子能量极高，质量可以忽略，且 $p_2 = (E_2, 0, 0, E_2)$
 - 在此坐标系，夸克质量以及任何垂直质子飞行方向的动量都可忽略

- 设夸克携带的动量占质子总动量的比分为 ξ



- 相互作用后被轰击后的夸克四动量为

$$(\xi p_2 + q)^2 = m_q^2 \approx 0 \quad \Rightarrow \quad \cancel{\xi^2 p_2^2} + q^2 + 2\xi p_2 \cdot q = 0 \quad \Rightarrow \quad \boxed{\xi = \frac{Q^2}{2p_2 \cdot q} = x}$$

$(\xi^2 p_2^2 = m_q^2 \approx 0)$

在质子极高能的坐标系内，比约肯变量 x 可被看作被轰击夸克携带的质子总动量的比分

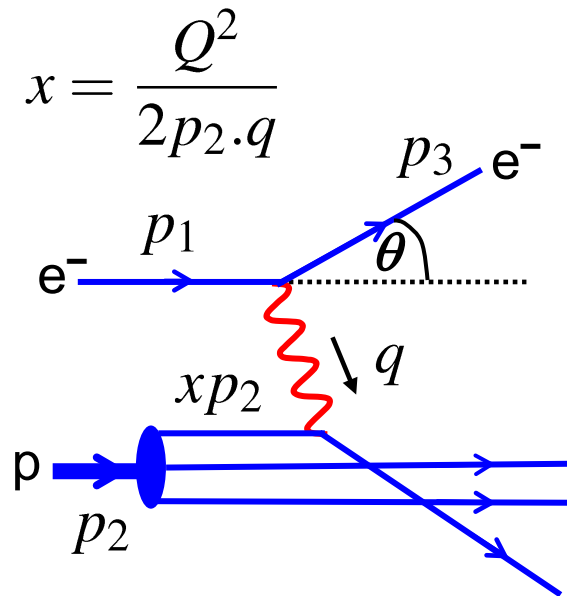
Quark-Parton Model

- 由质子动量 $s = (p_1 + p_2)^2 \simeq 2p_1 \cdot p_2$ $y = \frac{p_2 \cdot q}{p_2 \cdot p_1}$
- 但是对于底层的夸克相互作用

$$s^q = (p_1 + xp_2)^2 = 2xp_1 \cdot p_2 = xs$$

$$y_q = \frac{p_q \cdot q}{p_q \cdot p_1} = \frac{xp_2 \cdot q}{xp_2 \cdot p_1} = y \quad x_q = 1$$

(弹性的, 即 假设夸克没有破碎)



(下一页) 相对论极限下 $e^- \mu^- \rightarrow e^- \mu^-$ 弹性散射的截面公式

➤ 应用到 $e^- q \rightarrow e^- q$:
$$\frac{d\sigma}{dq^2} = \frac{2\pi\alpha^2 e_q^2}{q^4} \left[1 + \left(1 + \frac{q^2}{s_q} \right)^2 \right]$$

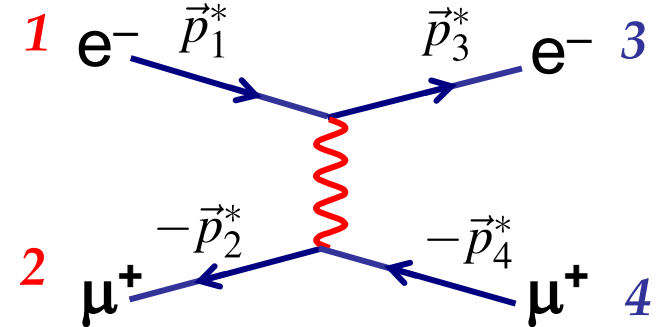
e_a : quark charge, i.e.
 $e_u = +2/3$; $e_d = -1/3$

利用 $-q^2 = Q^2 = (s_q - m^2)x_q y_q \rightarrow \frac{q^2}{s_q} = -y_q = -y$

$$\frac{d\sigma}{dQ^2} = \frac{2\pi\alpha^2 e_q^2}{Q^4} \left[1 + (1 - y)^2 \right]$$

(回顾) LI form of ME: $e^- \mu^- \rightarrow e^- \mu^-$

$$\sigma = \frac{1}{64\pi^2 s} \frac{|\vec{p}_f^*|}{|\vec{p}_i^*|} \int |M_{fi}|^2 d\Omega^*$$



- Express $d\Omega^*$ in terms of **Lorentz Invariant** dt

where $t \equiv (p_1 - p_3)^2 = p_1^2 + p_3^2 - 2p_1 \cdot p_3 = m_1^2 + m_3^2 - 2p_1 \cdot p_3$

$$\begin{aligned} p_1^{*\mu} &= (E_1^*, 0, 0, |\vec{p}_1^*|) & p_1^\mu p_{3\mu} &= E_1^* E_3^* - |\vec{p}_1^*| |\vec{p}_3^*| \cos \theta^* \\ p_3^{*\mu} &= (E_3^*, |\vec{p}_3^*| \sin \theta^*, 0, |\vec{p}_3^*| \cos \theta^*) & t &= m_1^2 + m_3^2 - E_1^* E_3^* + 2|\vec{p}_1^*| |\vec{p}_3^*| \cos \theta^* \end{aligned}$$

giving $dt = 2|\vec{p}_1^*| |\vec{p}_3^*| d(\cos \theta^*)$ therefore $d\Omega^* = d(\cos \theta^*) d\phi^* = \frac{dt d\phi^*}{2|\vec{p}_1^*| |\vec{p}_3^*|}$

hence $d\sigma = \frac{1}{64\pi^2 s} \frac{|\vec{p}_3^*|}{|\vec{p}_1^*|} |M_{fi}|^2 d\Omega^* = \frac{1}{2 \cdot 64\pi^2 s |\vec{p}_1^*|^2} |M_{fi}|^2 d\phi^* dt$

- Finally, integrate over $d\phi^*$ (assuming no ϕ^* dependence of $|M_{fi}|^2$) gives:

$$\frac{d\sigma}{dt} = \frac{1}{64\pi s |\vec{p}_i^*|^2} |M_{fi}|^2$$

(回顾) LI form of ME: $e^- \mu^- \rightarrow e^- \mu^-$

$$\langle |M_{fi}|^2 \rangle = 2e^4 \frac{(p_1 \cdot p_3)^2 + (p_1 \cdot p_4)^2}{(p_1 \cdot p_2)^2} \equiv 2e^4 \left(\frac{t^2 + u^2}{s^2} \right)$$

★任何坐标系都成立！

$$\frac{d\sigma}{dq^2} = \frac{1}{64\pi s p_i^{*2}} \langle |\mathcal{M}_{fi}|^2 \rangle = \frac{Q_q^2 e^4}{32\pi s p_i^{*2}} \left(\frac{s^2 + u^2}{t^2} \right)$$

• $p_i^* = \sqrt{s}/2$ 和 $t = q^2$, 上式写作:

$$\frac{d\sigma}{dq^2} = \frac{Q_q^2 e^4}{8\pi q^4} \left(\frac{s^2 + u^2}{s^2} \right) = \frac{Q_q^2 e^4}{8\pi q^4} \left[1 + \left(\frac{u}{s} \right)^2 \right]$$

$$s + t + u = m_1^2 + m_2^2 + m_3^2 + m_4^2$$

• 高能极限下, 忽略电子和夸克质量, $u \approx -s - t = -s - q^2$

• $e^- q \rightarrow e^- q$ 弹性散射的微分截面表达为 s 和 q^2 :

$$\frac{d\sigma}{dq^2} = \frac{2\pi\alpha^2 Q_q^2}{q^4} \left[1 + \left(1 + \frac{q^2}{s} \right)^2 \right]$$

Quark-Parton Model

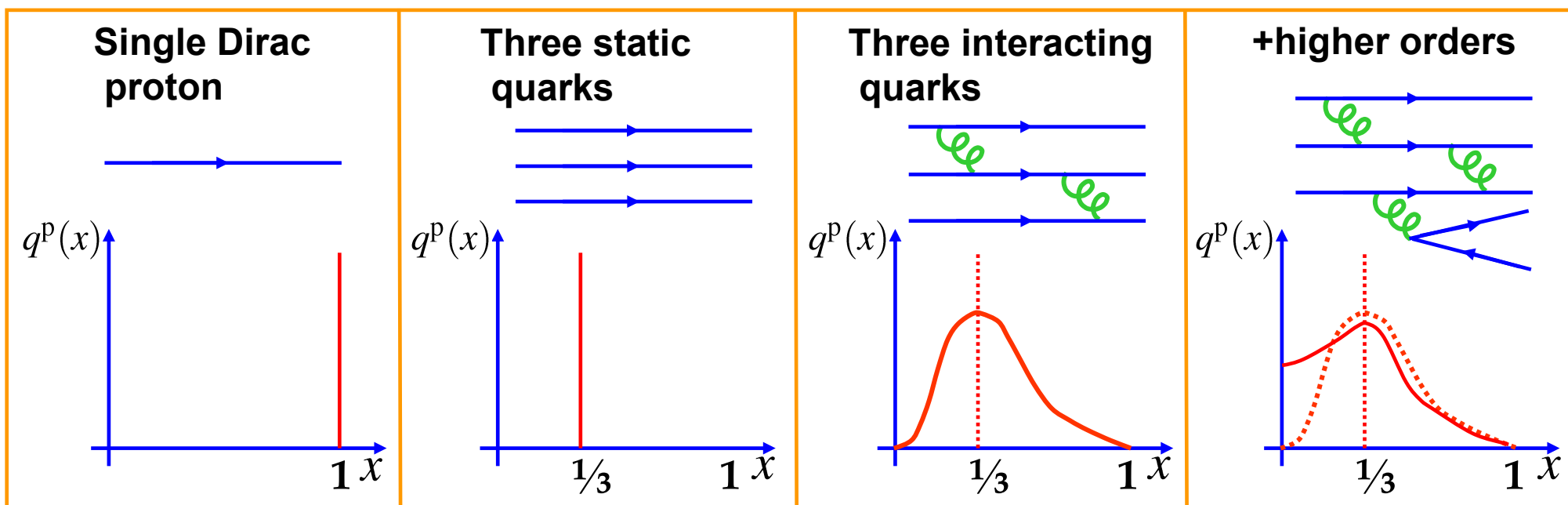
$$\frac{d\sigma}{dQ^2} = \frac{4\pi\alpha^2 e_q^2}{Q^4} \left[(1-y) + \frac{y^2}{2} \right]$$

e^-q 弹性散射的微分截面 (3)

考虑夸克的动量分布

- 引入部分子分布函数, 使得 $q^p(x)dx$ 是质子中出现携带动量在 $x \rightarrow x+dx$ 范围的 q 型夸克的概率

➤ 预期的部分子分布函数形式?



Quark-Parton Model

- 质子内特定类型夸克 ($x \rightarrow x+dx$) 的散射截面:

$$\frac{d^2\sigma}{dQ^2} = \frac{4\pi\alpha^2}{Q^4} \left[(1-y) + \frac{y^2}{2} \right] \times e_q^2 q^p(x) dx$$

- 对质子内所有夸克求和后, 给出电子-质子散射截面

$$\frac{d^2\sigma^{\text{ep}}}{dx dQ^2} = \frac{4\pi\alpha^2}{Q^4} \left[(1-y) + \frac{y^2}{2} \right] \sum_q e_q^2 q^p(x) \quad (5)$$

- 与由结构函数表达的截面 (公式(2)) 对比:

$$\frac{d^2\sigma}{dx dQ^2} = \frac{4\pi\alpha^2}{Q^4} \left[(1-y) \frac{F_2(x, Q^2)}{x} + y^2 F_1(x, Q^2) \right]$$



得到部分子模型预言的结构函数 (洛伦兹不变的微分截面的一般形式)

$$F_2^p(x, Q^2) = 2xF_1^p(x, Q^2) = x \sum_q e_q^2 q^p(x)$$



测量的结构函数与底层的夸克分布联系起来

Quark-Parton Model

夸克模型预言：

• **比约肯标度律** $F_1(x, Q^2) \rightarrow F_1(x)$ $F_2(x, Q^2) \rightarrow F_2(x)$

★ 由于散射来自质子内的 **点状粒子**

• **Callan-Gross 关系式** $F_2(x) = 2xF_1(x)$

★ 由于散射来自 **自旋1/2狄拉克粒子**，其磁矩与电荷有直接关联；
因此“电磁”和“纯磁”的关系是固定的

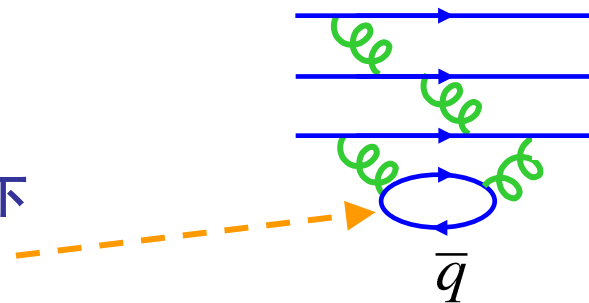
★ 目前，部分子分布不能从QCD计算得到

• 由于耦合大，不能使用微扰论计算；结构函数的测量可以确定部分子分布函数

★ 对于电子质子散射：
$$F_2^p(x) = x \sum_q e_q^2 q^p(x)$$

• 由于高阶项贡献，质子不仅含有上下型夸克，还含有上下型的反夸克

(忽略小部分重夸克的贡献)



Optional: Quark-Parton Model

- 电子质子散射: $F_2^{\text{ep}}(x) = x \sum_q e_q^2 q^{\text{p}}(x) = x \left(\frac{4}{9} u^{\text{p}}(x) + \frac{1}{9} d^{\text{p}}(x) + \frac{4}{9} \bar{u}^{\text{p}}(x) + \frac{1}{9} \bar{d}^{\text{p}}(x) \right)$
- 电子中子散射: $F_2^{\text{en}}(x) = x \sum_q e_q^2 q^{\text{n}}(x) = x \left(\frac{4}{9} u^{\text{n}}(x) + \frac{1}{9} d^{\text{n}}(x) + \frac{4}{9} \bar{u}^{\text{n}}(x) + \frac{1}{9} \bar{d}^{\text{n}}(x) \right)$

- 假设 “同位旋对称性(isospin symmetry)”

- 上下型夸克可以互换的情况下, 中子(ddu)与质子相同(uud)

$$d^{\text{n}}(x) = u^{\text{p}}(x); \quad u^{\text{n}}(x) = d^{\text{p}}(x)$$

- 类比质子, 定义中子的部分子分布函数

$$u(x) \equiv u^{\text{p}}(x) = d^{\text{n}}(x); \quad d(x) \equiv d^{\text{p}}(x) = u^{\text{n}}(x)$$

$$\bar{u}(x) \equiv \bar{u}^{\text{p}}(x) = \bar{d}^{\text{n}}(x); \quad \bar{d}(x) \equiv \bar{d}^{\text{p}}(x) = \bar{u}^{\text{n}}(x)$$

给出:

$$F_2^{\text{ep}}(x) = 2xF_1^{\text{ep}}(x) = x \left(\frac{4}{9} u(x) + \frac{1}{9} d(x) + \frac{4}{9} \bar{u}(x) + \frac{1}{9} \bar{d}(x) \right) \quad (7)$$

$$F_2^{\text{en}}(x) = 2xF_1^{\text{en}}(x) = x \left(\frac{4}{9} d(x) + \frac{1}{9} u(x) + \frac{4}{9} \bar{d}(x) + \frac{1}{9} \bar{u}(x) \right) \quad (8)$$

Optional: Quark-Parton Model

• 对上式积分:

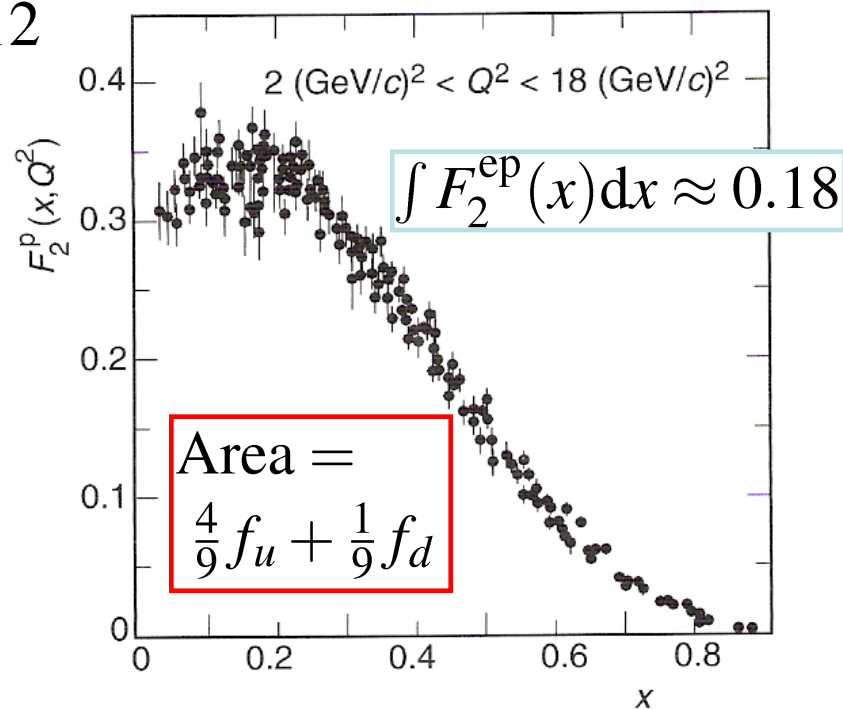
$$\int_0^1 F_2^{\text{ep}}(x) dx = \int_0^1 x \left(\frac{4}{9} [u(x) + \bar{u}(x)] + \frac{1}{9} [d(x) + \bar{d}(x)] \right) dx = \frac{4}{9} f_u + \frac{1}{9} f_d$$
$$\int_0^1 F_2^{\text{en}}(x) dx = \int_0^1 x \left(\frac{4}{9} [d(x) + \bar{d}(x)] + \frac{1}{9} [u(x) + \bar{u}(x)] \right) dx = \frac{4}{9} f_d + \frac{1}{9} f_u$$

★ $f_u = \int_0^1 [xu(x) + x\bar{u}(x)] dx$ 正反上型夸克携带的质子总动量的比分

实验: $\int F_2^{\text{ep}}(x) dx \approx 0.18$ $\int F_2^{\text{en}}(x) dx \approx 0.12$

➔ $f_u \approx 0.36$ $f_d \approx 0.18$

- 质子中上夸克携带的动量是下夸克的两倍,
 - 符合预期
- 夸克仅携带50%左右的质子总动量
- 剩余的被胶子携带
 - 胶子中性, 不参与如电子-核子散射



Valence and Sea Quarks

- 部分子分布函数 $u^p(x)=u(x)$ 包括“价”夸克和胶子“海”产生的虚夸克

- 分解价夸克和海夸克的贡献: Valence (or constituent) quarks

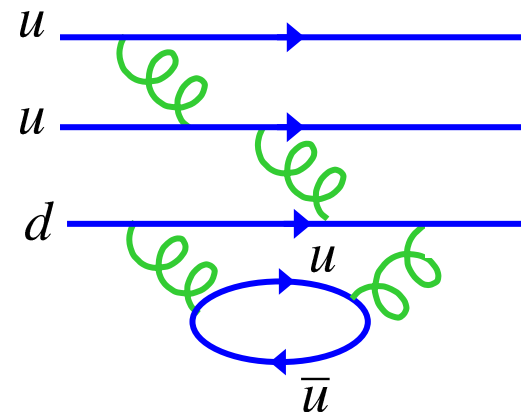
$$u(x) = u_V(x) + u_S(x) \quad d(x) = d_V(x) + d_S(x)$$

$$\bar{u}(x) = \bar{u}_S(x) \quad \bar{d}(x) = \bar{d}_S(x)$$

- 质子包含两个上型价夸克和一个下型价夸克

$$\int_0^1 u_V(x) dx = 2 \quad \int_0^1 d_V(x) dx = 1$$

但没有关于海夸克总数的先验预期!



- 但是，胶子产生海夸克是正/反成对出现的，且 $m_u = m_d$

- 合理地预期 $u_S(x) = d_S(x) = \bar{u}_S(x) = \bar{d}_S(x) = S(x)$

- 这样公式 (7) 和 (8) 变成

$$F_2^{\text{ep}}(x) = x \left(\frac{4}{9} u_V(x) + \frac{1}{9} d_V(x) + \frac{10}{9} S(x) \right) \quad F_2^{\text{en}}(x) = x \left(\frac{4}{9} d_V(x) + \frac{1}{9} u_V(x) + \frac{10}{9} S(x) \right)$$

Valence and Sea Quarks

给出比例式
$$\frac{F_2^{\text{en}}(x)}{F_2^{\text{ep}}(x)} = \frac{4d_V(x) + u_V(x) + 10S(x)}{4u_V(x) + d_V(x) + 10S(x)}$$

- 海成分来自如 $g \rightarrow \bar{u}u$ 过程

- 由于胶子传播子 $1/q^2$ 的依赖性，低能胶子产生的概率更高
- 预期海成分主要由低能 q/\bar{q} 组成

- 因此，低 x 区域海贡献预期主导
$$\frac{F_2^{\text{en}}(x)}{F_2^{\text{ep}}(x)} \rightarrow 1 \quad \text{as } x \rightarrow 0$$
- 实验观测证实

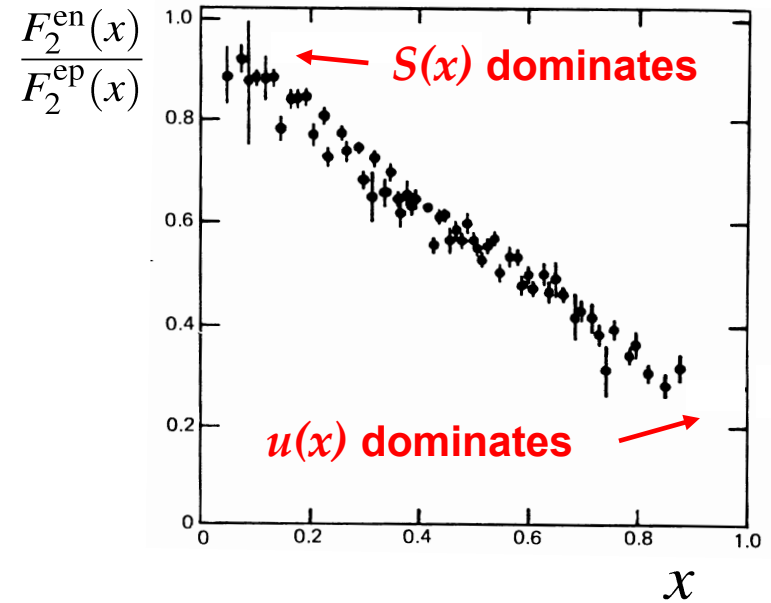
- 高 x 区域海贡献变小

$$\frac{F_2^{\text{en}}(x)}{F_2^{\text{ep}}(x)} \rightarrow \frac{4d_V(x) + u_V(x)}{4u_V(x) + d_V(x)} \quad \text{as } x \rightarrow 1$$

- 注意： $u_V=2d_V$ 在 $x \rightarrow 1$ 时将给出 $2/3$ 的比例

实验观测： $F_2^{\text{en}}(x)/F_2^{\text{ep}}(x) \rightarrow 1/4 \quad \text{as } x \rightarrow 1$

➡ $d(x)/u(x) \rightarrow 0 \quad \text{as } x \rightarrow 1$



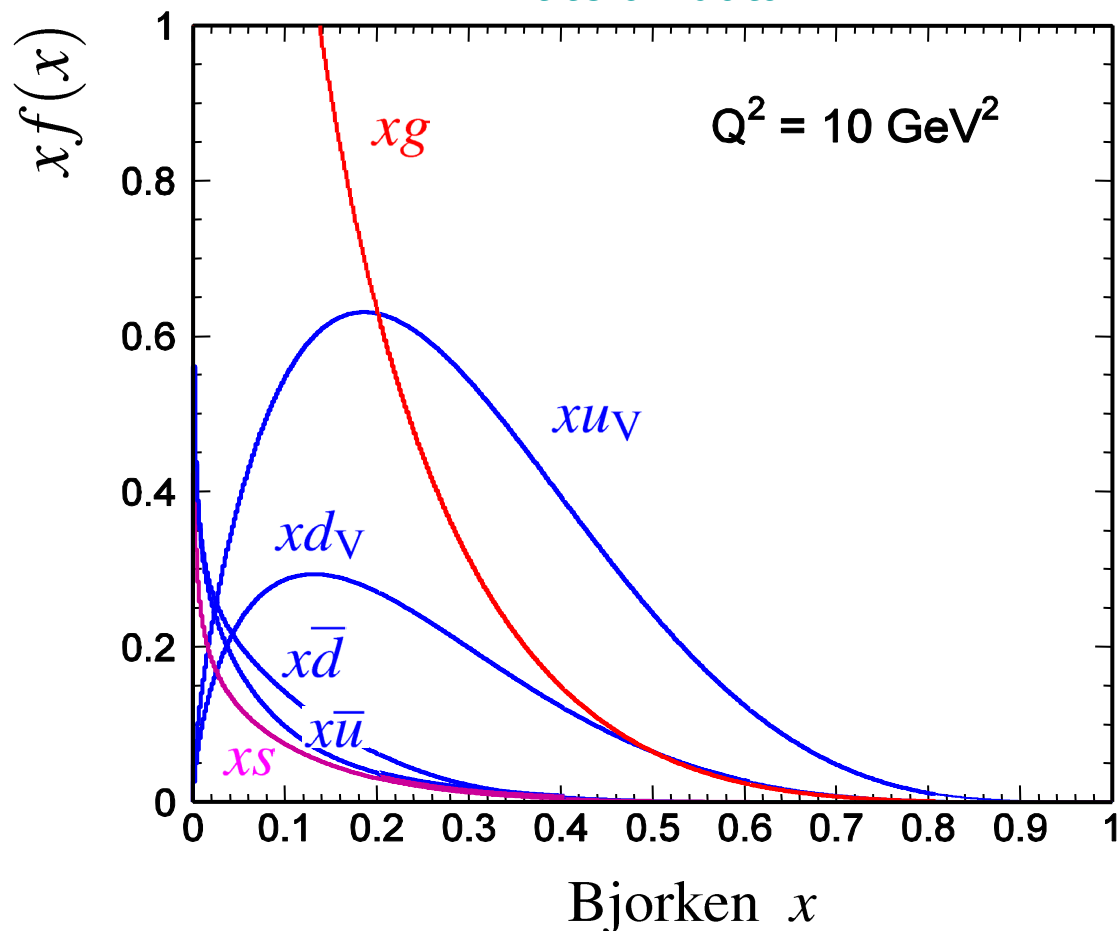
尚未完全理解，不相容原理的定性解释：

- 高 x ，一个价夸克携带几乎全部动量，则另外两个都在低动量态。不相容原理禁止两个同味道夸克在相同态。因此 d 夸克在高 x ，两个 u 夸克在低 x 的组合被压低。

Parton Distribution Functions

- 最终部分子分布函数通过拟合所有实验数据得到，包括中微子散射 (Lecture 10)
- 强子-强子对撞给出胶子PDF: $g(x)$

Fit to all data



注意:

- At large x $u_V(x) \approx 2d_V(x)$
- For $x < 0.2$ 胶子主导
- 拟合数据，并假设
$$u_s(x) = \bar{u}(x)$$
- $\bar{d}(x) > \bar{u}(x)$
尚未理解 – 不相容原理?
- 少量奇异夸克成分 $s(x)$

Scaling Violations

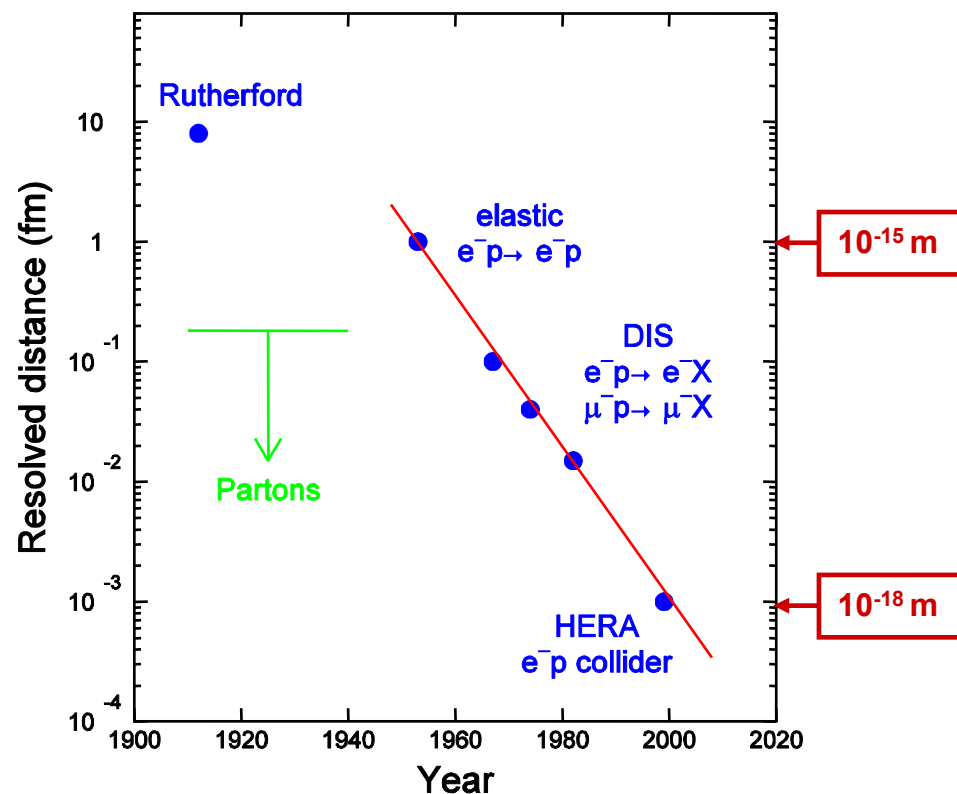
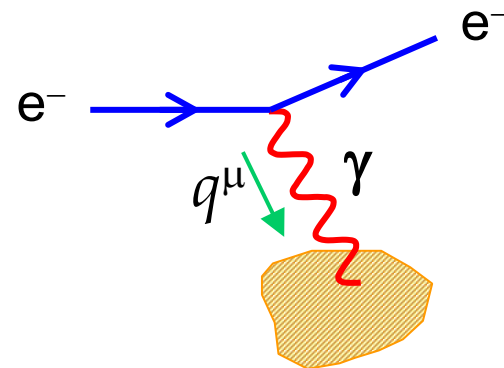
- 实验在进一步在高能量虚光子来探测质子
- 当 λ_γ 接近散射中心的尺寸，非点状的散射更加显著

$$\lambda_\gamma = \frac{h}{|\vec{q}|} \sim \frac{1 \text{ GeV fm}}{|\vec{q}| (\text{GeV})}$$

- 点状夸克的散射引出比约肯标度律
 - 截面与 q^2 无关
- 如果夸克不是点状，在高 q^2 (虚光子波长接近夸克尺寸) 将观测到截面随 q^2 迅速下降

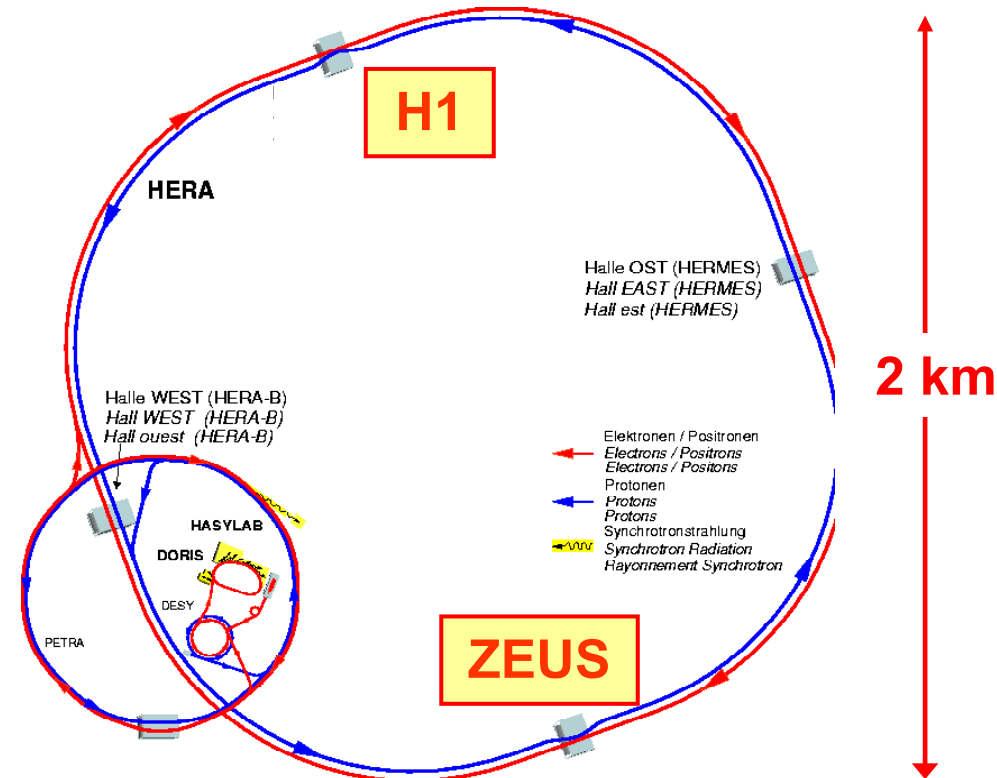
HERA实验

- 在极高 q^2 来研究夸克子结构



HERA $e^\pm p$ Collider : 1991-2007

★ DESY (Deutsches Elektronen-Synchrotron) Laboratory, Hamburg, Germany

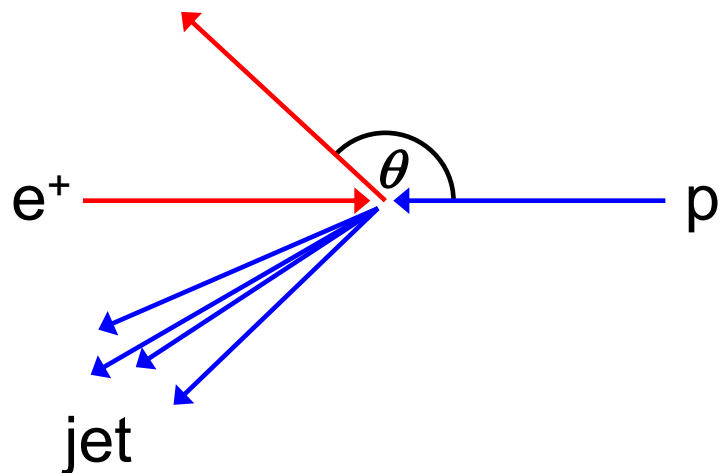


★ Two large experiments : H1 and ZEUS

★ Probe proton at very high Q^2 and very low x

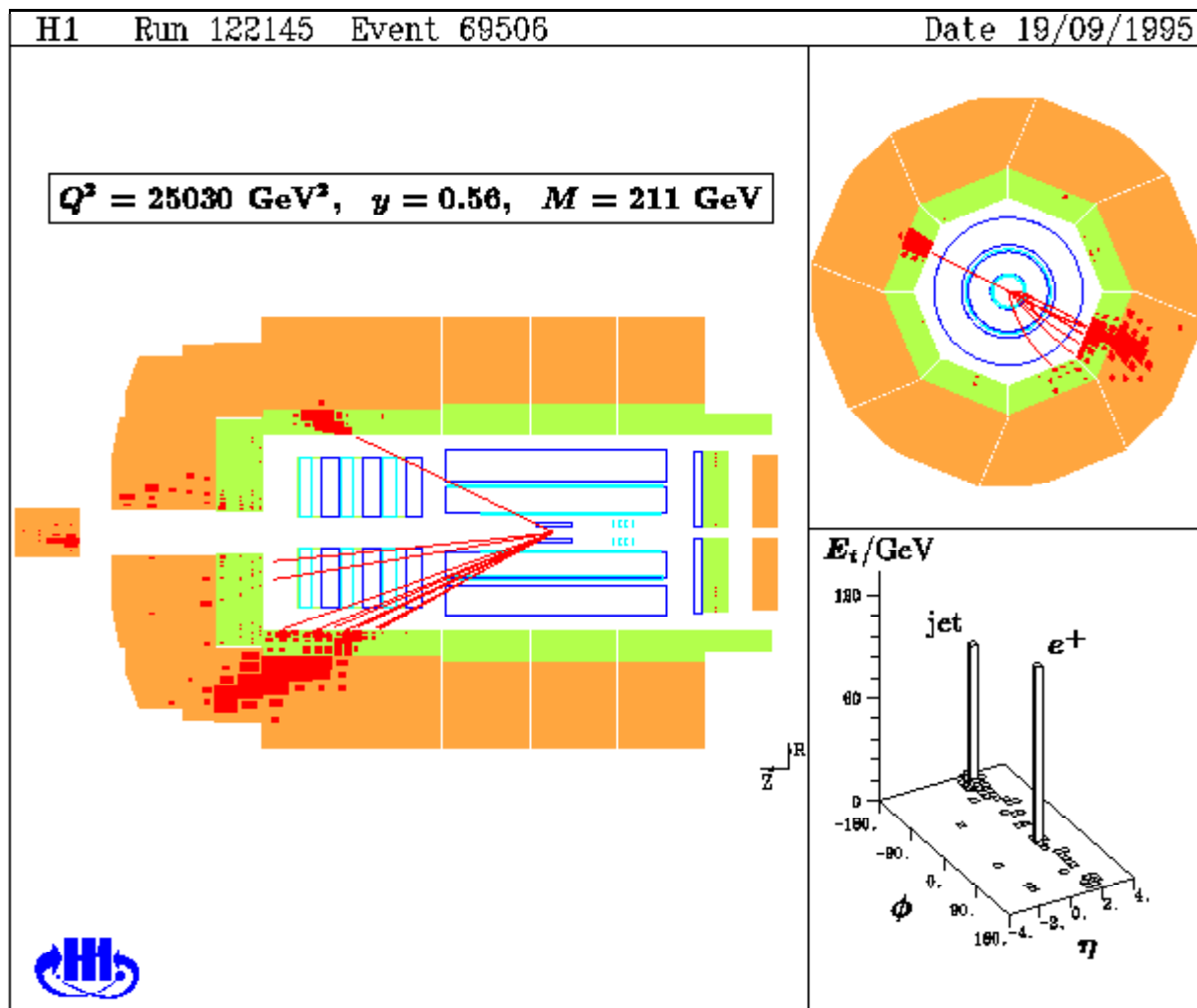
Example of a High Q^2 Event in H1

★ 事例运动学由电子的角度和能量决定



★ 同时测量强子系统（虽然精度较差）

- 给出一些额外冗余信息

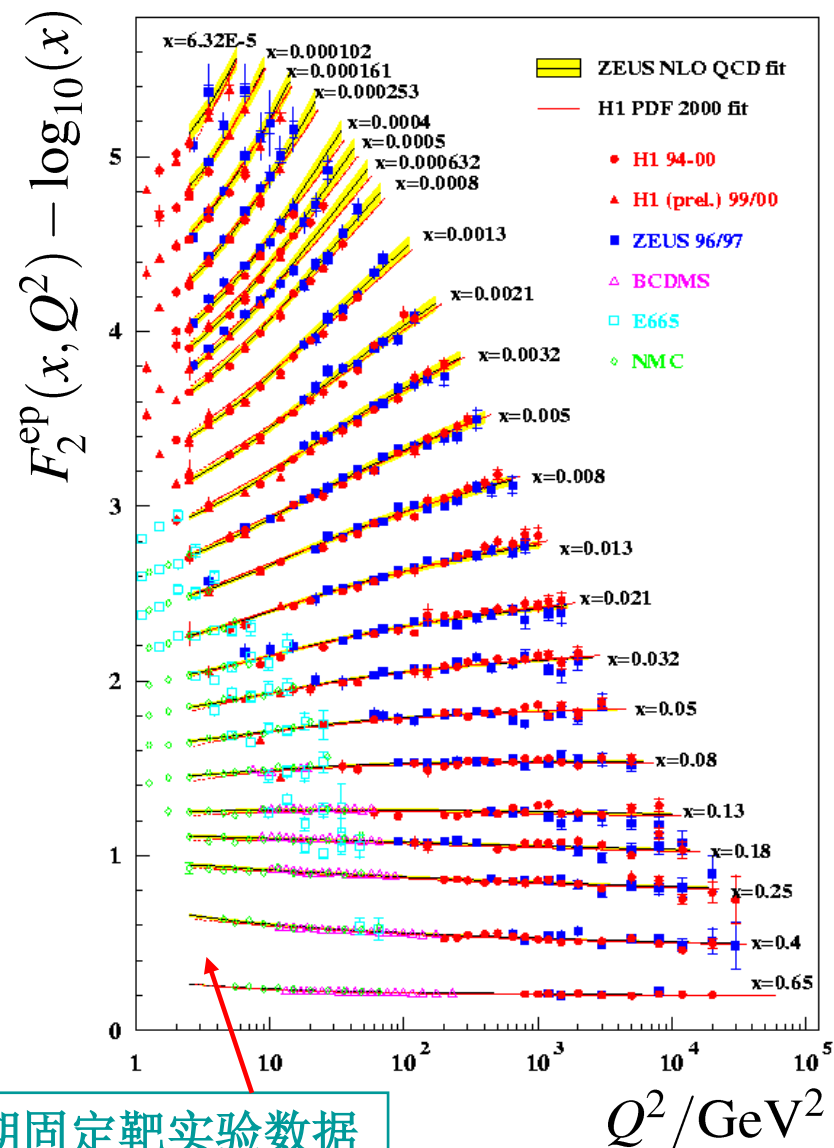


$F_2(x, Q^2)$ Results

- 在高 q^2 ，没有观测到截面迅速下降

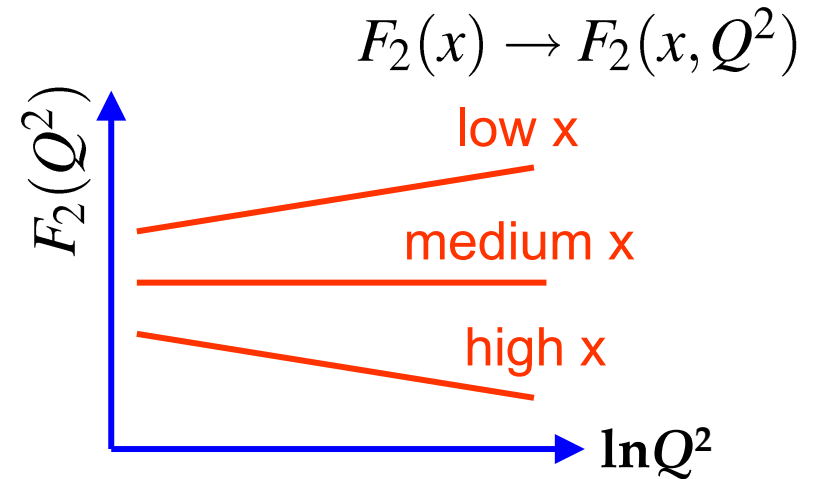
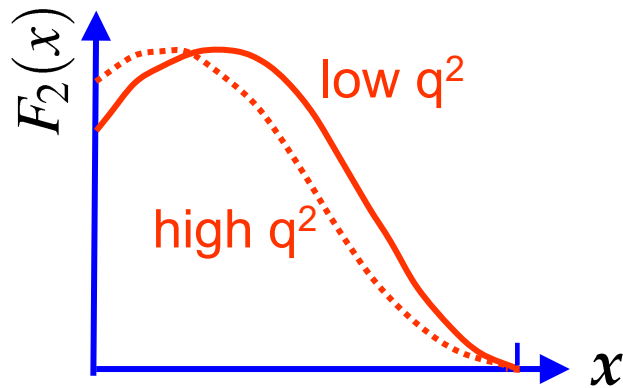
→ $R_{\text{quark}} < 10^{-18} \text{ m}$

- 对于 $x > 0.05$ ， F_2 弱依赖于 q^2 ：
 - 与夸克-部分子模型一致
- 但是明显观测到标度律的破坏，尤其在低 x 处 $F_2(x, Q^2) \neq F_2(x)$

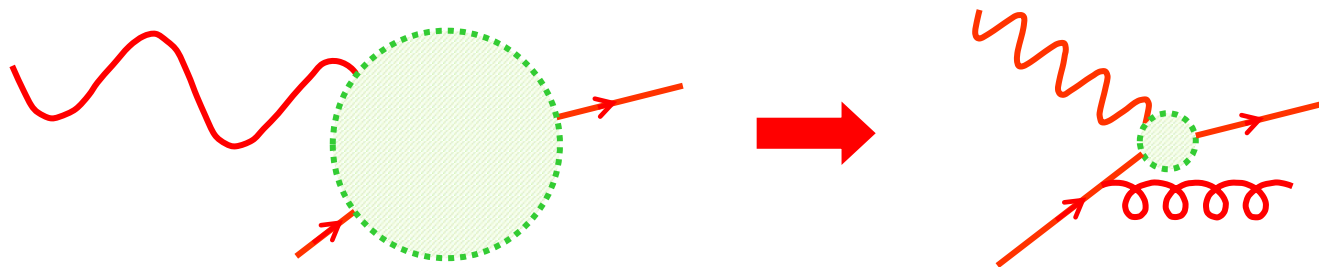


(Optional) origin of Scaling Violations

- 观测到比约肯标度律“小的偏移”



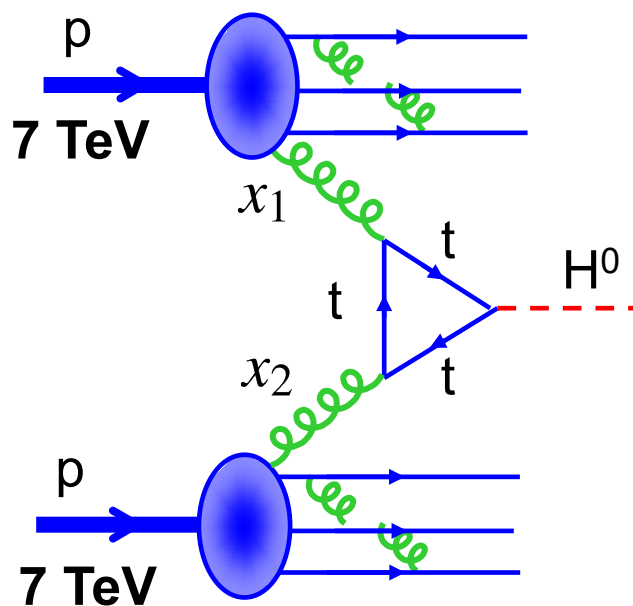
- 在高 Q^2 时观测到更多低 x 夸克
- “解释”：在高 Q^2 （更短波长）可以分辨更小的结构
 - 发现夸克分享动量给胶子，因此在高 Q^2 时预期“看”到更多低 x 夸克



- QCD不能预言 $F_2(x, Q^2)$ 对于 x 的依赖，但是可以预言随 Q^2 的依赖

Proton-Proton Collisions at the LHC

- 结构函数的测量不仅是对QCD的精确检验
 - **部分子分布函数**是 pp 和 $p\bar{p}$ 对撞机物理研究的必须条件，如计算截面等
- **举例**：大型强子对撞机 (LHC) 上希格斯粒子的产生
 - 7 TeV质子束对撞，底层为部分子的对撞，约50%的质子动量被胶子携带
 - LHC上希格斯的主要产生模式为“胶子融合(**gluon-gluon fusion**)”



- 截面依赖胶子PDFs

$$\sigma(pp \rightarrow HX) \sim \int_0^1 \int_0^1 g(x_1)g(x_2)\sigma(gg \rightarrow H)dx_1dx_2$$

- 胶子PDFs的误差引起的希格斯产生截面的误差为 $\pm 5\%$
- HERA测量前的误差为 $\pm 25\%$

Summary

- 在电子能量极高时 $\lambda \ll r_p$: 质子变成夸克和胶子的海洋
- 深度非弹性散射 = 对于准自由组分夸克的弹性散射
 - ➡ Bjorken Scaling $F_1(x, Q^2) \rightarrow F_1(x)$ 点状散射
 - ➡ Callan-Gross $F_2(x) = 2xF_1(x)$ 自旋1/2 的散射
- 依据部分子分布函数(PDF) 来描述散射:
 - PDF: $u(x), d(x), \dots$ 描述核子内的动量分布
- 质子的内部比uud更为复杂很多 - 正反夸克/胶子的海洋
- 夸克仅携带的50%质子动量 - 剩余的为低能胶子
- 中微子散射也可以研究质子结构, (时间允许的话) 后续课程

